

Filtragem de Imagens

Prof. Sérgio S Furuie

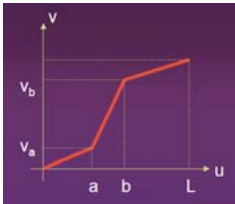
EPUSP/PTC-LEB S.Furuie - 1

Filtros

- ▣ Operadores pontuais (baseado apenas na intensidade)
 - Alteração de contraste
 - Equalização do histograma
- ▣ Operadores que consideram a vizinhança
 - Filtros globais
 - Filtros lineares
 - Convolução
 - Baseado em resposta em frequência
 - Filtros não lineares: mediana, ad-hocs,
 - Filtros adaptativos

EPUSP/PTC-LEB S.Furuie - 2

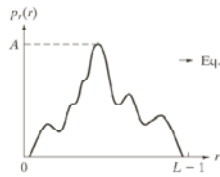
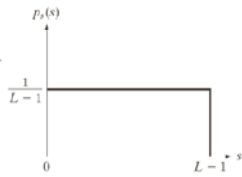
Alteração de contraste



$$v = \begin{cases} \alpha u & 0 \leq u < a \\ v_a + \beta(u - a) & a \leq u < b \\ v_b + \gamma(u - b) & b \leq u < L \end{cases}$$

EPUSP/PTC-LEB S.Furuie - 3

Equalização de histograma

→ Eq. (3.3-4) →

FIGURE 3.18 (a) An arbitrary PDF (b) Result of applying the transformation in Eq. (3.3-4) to all intensity levels, r . The resulting intensities, s , have a uniform PDF, independently of the form of the PDF of the r 's.

$$p_r(r_k) = \frac{n_k}{M \cdot N}$$

$$s_k = (L-1) \cdot \sum_{j=0}^k p_r(r_j)$$

$$k = 0, 1, \dots, L-1$$

Exemplo: ImageJ Enhance Contrast (equalization). Use: fibroblast...jpg

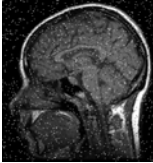
EPUSP/PTC-LEB S.Furuie - 4

FILTRO NO DOMÍNIO DO ESPAÇO

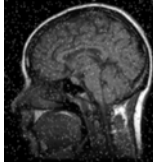
EPUSP/PTC-LEB S.Furuie - 5

Conceito: filtro e convolução

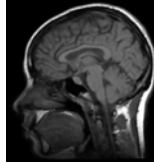
- ▣ Filtragem é uma operação feita sobre um sinal ou imagem para obter um outro sinal ou imagem
- ▣ Filtro linear e invariante pode ser implementado por convolução
- ▣ Convolução pode ser executado rapidamente no domínio da frequência por FFT



Ruído salt pepper



Filtro Média, $r=1$



Filtro Mediana, $r=1$
(Não-linear)

EPUSP/PTC-LEB S.Furuie - 6

Filtragem de imagens

Aplicando uma média (janela móvel de pesos)

Origin (x, y)
 3×3 neighborhood of (x, y)
 $\frac{1}{9} \times$
 $\begin{bmatrix} 1 & 1 & 1 \\ 1 & 1 & 1 \\ 1 & 1 & 1 \end{bmatrix}$
 Image f
 Spatial domain
 $\begin{bmatrix} 95 & 80 & 80 & 80 \\ 95 & 90 & 90 & 105 \\ 150 & 20 & 100 & 130 \\ 220 & 150 & 160 & 150 \end{bmatrix} * \begin{bmatrix} 1 & 1 & 1 \\ 1 & 1 & 1 \\ 1 & 1 & 1 \end{bmatrix} = \begin{bmatrix} & & & \\ & 89 & & \\ & & & \\ & & & \end{bmatrix}$

S.Furuié - 7

Filtros digitais: SIPSF

Filtragem no domínio do espaço (Convolução)

$$g(x', y') = \iint h(x' - x, y' - y) \cdot f(x, y) \cdot dx \cdot dy$$

$$g(x', y') = (h * f)(x', y')$$

$$g_{ij} = \sum_{m=0}^{M-1} \sum_{n=0}^{N-1} h(i - m, j - n) \cdot f(m, n)$$

- Exemplos
- Características do filtro?

Filtragem no domínio da frequência (DFT)

EPUSP/P/TC-LEB S.Furuié - 8

Convolução 2D

$$g(x, y) = \sum_{r=-a}^a \sum_{c=-b}^b w(r, c) \cdot f(x-r, y-c)$$

$\begin{bmatrix} 95 & 80 & 80 & 80 \\ 95 & 90 & 90 & 105 \\ 150 & 20 & 100 & 130 \\ 220 & 150 & 160 & 150 \end{bmatrix} * \begin{bmatrix} 0 & 1 & 0 \\ 1 & -4 & 1 \\ 0 & 1 & 0 \end{bmatrix} = \begin{bmatrix} & & & \\ & -75 & & \\ & & & \\ & & & \end{bmatrix}$

EPUSP/P/TC-LEB S.Furuié - 9

$g(x, y) = \sum_{r=-a}^a \sum_{c=-b}^b w(r, c) \cdot f(x-r, y-c)$

EPUSP/P/TC-LEB S.Furuié - 10

Implementação em pseudo-código

$$g(x, y) = \sum_{r=-a}^a \sum_{c=-b}^b w(r, c) \cdot f(x-r, y-c)$$

Entradas:
 f[R linhas][C colunas]; w[A linhas][B colunas] (A e B: ímpares)
 Desconsidere as bordas

Algoritmo:

- Sejam: $a=A/2$; $b=B/2$
- for ($x=a$; $x < (R-a)$; $x++$)
 for ($y=b$; $y < (C-b)$; $y++$)
 - $g[x][y]=0$;
 - for ($r=-a$; $r <= a$; $r++$)
 for ($c=-b$; $c <= b$; $c++$)
 • $g[x][y]=g[x][y] + w[r+a][c+b] * f[x-r][y-c]$
 end for
 - end for
 end for
- end for

EPUSP/P/TC-LEB S.Furuié - 11

Implementação em java

$$g(x, y) = \sum_{r=-a}^a \sum_{c=-b}^b w(r, c) \cdot f(x-r, y-c)$$

Entradas:
 f[R linhas][C colunas]; w[A linhas][B colunas] (A e B: ímpares)
 Desconsidere as bordas

Algoritmo:

- int $a=A/2$; int $b=B/2$
- for (int $x=a$; $x < (R-a)$; $x++$)
 for (int $y=b$; $y < (C-b)$; $y++$)
 {
 $g[x][y]=0$;
 for (int $r=-a$; $r <= a$; $r++$)
 for (int $c=-b$; $c <= b$; $c++$)
 • $g[x][y]=g[x][y] + w[r+a][c+b] * f[x-r][y-c]$;
 }

EPUSP/P/TC-LEB S.Furuié - 12

Exemplo no ImageJ: filtro

- Vamos implementar um plugin no ImageJ que:
 - Filtre os ruídos substituindo pela média dos 8-vizinhos (média entre 9 pixels) (ver plugin `media_sf.java`)
 - Filtre os ruídos substituindo pela mediana
- Como tratar as bordas?
 - Veja a classe `ImageAccess.java`
 - Ou tratar usando um modelo:
 - Supondo valores zero fora da imagem
 - Valores espelhados p/ pixels fora da imagem (`ImageAccess`)
 - Tratar a exceção considerando apenas os pixels da imagem. Necessário considerar os sub-kernels adaptando os valores dos pesos, pois a normalização fica diferente

EPUSP/PPTC-LEB S.Furule - 13

Filtro adequado !

original Ruído salt pepper

Filtro Média, r=1

Filtro Mediana, R=1

EPUSP/PPTC-LEB S.Furule - 14

Imagens: efeito de filtro (suavização)

Original
238 x 253, 8 bits
58kB

Filtrado, média, r=2

Filtrado, média, 2 x (r=2)

EPUSP/PPTC-LEB S.Furule - 15

Formalizando convolução: 2D, contínuo

Definição para funções contínuas:

$$g(x, y) = h(x, y) * f(x, y)$$

$$g(x, y) \stackrel{\text{def}}{=} \iint_{-\infty}^{\infty} f(x, y) \cdot h(x - x', y - y') dx' dy'$$

Pode-se provar:

$$g(x, y) = \iint_{-\infty}^{\infty} h(x, y) \cdot f(x - x', y - y') dx' dy'$$

$$G(u, v) = H(u, v) \cdot F(u, v)$$

Na qual G, H e F são as transformadas de Fourier 2D de g, h e f respectivamente.

Como faríamos a convolução se h e f fossem 1000 x 1000 cada ?

EPUSP/PPTC-LEB S.Furule - 16

FILTROS NÃO-LINEARES E LOCAIS

EPUSP/PPTC-LEB S.Furule - 17

Filtros não-lineares: mediana

$$g(n, m) = \text{mediana}\{f(m-k, n-l), (k, l) \in W\}$$

Filtragem de Imagens

EPUSP/PPTC-LEB S.Furule - 18

Filtros adaptativos

- Wiener adaptativo (Lee)
 - Preserva bordas
 - Atenua ruído de regiões homogêneas

$$g(x, y) = (1 - \alpha) \cdot f(x, y) + \alpha \cdot \bar{f}(x, y)$$

$$\alpha = \frac{\sigma_{\text{ruído}}^2}{\sigma_{\text{local}}^2}$$

se borda $\Rightarrow \sigma_{\text{local}}^2$ elevado $\Rightarrow \alpha \approx 0 \Rightarrow g(x, y) = f(x, y)$
 se homogêneo $\Rightarrow \alpha \approx 1 \Rightarrow g(x, y) = \bar{f}(x, y)$



Filtragem de Imagens EPUSP/PPTC-LEB S.Furule - 19

Filtro adaptativo por difusão

- Difusão (ex. no ImageJ)
 - Isotrópica, linear (difusão térmica)
 - Anisotrópica não-linear (Perona & Malik)
 - Anisotrópica direcional

EPUSP/PPTC-LEB S.Furule - 20

Filtro por difusão anisotrópica

$$\frac{\partial I(x, y, t)}{\partial t} = \text{div}[c(|\nabla I|) \cdot \nabla I]$$

$$c(s) = \frac{1}{1 + \left(\frac{s}{K}\right)^2}$$

Na qual K é uma referência para o valor do módulo de gradiente. Vamos detalhar uma implementação numérica por diferenças finitas de cada parte da equação 17:

$$\frac{\partial I}{\partial t} = \frac{I(x, y, t + \Delta t) - I(x, y, t)}{\Delta t}$$

$$\nabla I(x, y, t) = \frac{\partial I}{\partial x} \cdot \vec{u}_x + \frac{\partial I}{\partial y} \cdot \vec{u}_y$$

$$\frac{\partial I(x, y, t)}{\partial x} = \frac{I(x+1, y, t) - I(x-1, y, t)}{2}$$

$$\frac{\partial I(x, y, t)}{\partial y} = \frac{I(x, y+1, t) - I(x, y-1, t)}{2}$$

na qual \vec{u}_x e \vec{u}_y são os vetores unitários dos eixos x e y respectivamente.

EPUSP/PPTC-LEB S.Furule - 21

$$|\nabla I(x, y, t)| = \sqrt{\left(\frac{\partial I}{\partial x}\right)^2 + \left(\frac{\partial I}{\partial y}\right)^2} = \frac{1}{2} \sqrt{(I(x+1, y, t) - I(x-1, y, t))^2 + (I(x, y+1, t) - I(x, y-1, t))^2}$$

$$c_d(x, y, t) = c(|\nabla I|) = \frac{1}{1 + \left(\frac{|\nabla I|}{K}\right)^2} = \frac{1}{1 + \left[\frac{(I(x+1, y, t) - I(x-1, y, t))^2 + (I(x, y+1, t) - I(x, y-1, t))^2}{(2K)^2}\right]}$$

$$\frac{\partial I}{\partial t} = \text{div}[c(|\nabla I|) \cdot \nabla I] = \text{div}[a(x, y, t) \cdot \vec{u}_x + b(x, y, t) \cdot \vec{u}_y] = \frac{\partial a(x, y, t)}{\partial x} + \frac{\partial b(x, y, t)}{\partial y} = \frac{1}{2} [a(x+1, y, t) - a(x-1, y, t) + b(x, y+1, t) - b(x, y-1, t)]$$

Na qual,

$$a(x, y, t) = c_d(x, y, t) \cdot \frac{\partial I(x, y, t)}{\partial x} = c_d(x, y, t) \cdot \frac{1}{2} [I(x+1, y, t) - I(x-1, y, t)], \text{ donde:}$$

$$a(x+1, y, t) = \frac{1}{2} c_d(x+1, y, t) \cdot [I(x+2, y, t) - I(x+1, y, t)]$$

EPUSP/PPTC-LEB S.Furule - 22

$$a(x-1, y, t) = \frac{1}{2} c_d(x-1, y, t) \cdot [I(x, y, t) - I(x-2, y, t)]$$

$$b(x, y, t) = c_d(x, y, t) \cdot \frac{\partial I(x, y, t)}{\partial y} = c_d(x, y, t) \cdot \frac{1}{2} [I(x, y+1, t) - I(x, y-1, t)]$$

$$b(x, y+1, t) = \frac{1}{2} c_d(x, y+1, t) \cdot [I(x, y+2, t) - I(x, y, t)]$$

$$b(x, y-1, t) = \frac{1}{2} c_d(x, y-1, t) \cdot [I(x, y, t) - I(x, y-2, t)]$$

Portanto,

$$4 \frac{\partial I}{\partial t} = 4 \frac{I(x, y, t + \Delta t) - I(x, y, t)}{\Delta t} = c_d(x+1, y, t) \cdot [I(x+2, y, t) - I(x, y, t)] - c_d(x-1, y, t) \cdot [I(x, y, t) - I(x-2, y, t)] + c_d(x, y+1, t) \cdot [I(x, y+2, t) - I(x, y, t)] - c_d(x, y-1, t) \cdot [I(x, y, t) - I(x, y-2, t)]$$

EPUSP/PPTC-LEB S.Furule - 23

É o algoritmo com relaxação seria:

$$I(x, y, t + 1) = I(x, y, t) + \frac{\lambda}{4} \cdot \Delta t \cdot [c_d(x+1, y, t) \cdot [I(x+2, y, t) - I(x, y, t)] + c_d(x-1, y, t) \cdot [I(x-2, y, t) - I(x, y, t)] + c_d(x, y+1, t) \cdot [I(x, y+2, t) - I(x, y, t)] + c_d(x, y-1, t) \cdot [I(x, y-2, t) - I(x, y, t)]]$$

Na qual:

$$c_d(x, y, t) = \frac{1}{1 + \left[\frac{(I(x+1, y, t) - I(x-1, y, t))^2 + (I(x, y+1, t) - I(x, y-1, t))^2}{(2K)^2}\right]}$$

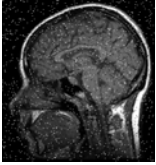
e $I(x, y, 0) = I(x, y)$ (imagem inicial)

EPUSP/PPTC-LEB S.Furule - 24

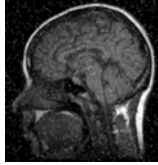


Conceito: filtro, convolução e Fourier

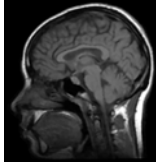
- 1. Filtragem é uma operação feita sobre um sinal ou imagem para obter um outro sinal ou imagem
- 2. Filtro linear e invariante pode ser implementado por convolução
- 3. Convolução pode ser executado rapidamente no domínio da frequência por FFT



Ruído salt pepper



Filtro
Média, $r=1$



Filtro Mediana,
 $r=1$

EPUSP/PTC-LEB S.Furule - 25



**FILTROS LINEARES INVARIANTES
NO DOMÍNIO DA FREQUÊNCIA=>**

EPUSP/PTC-LEB S.Furule - 26